

В.Ф.КУРОПАТЕНКО, А.Т.САЛОЖНИКОВ

РАСЧЕТ НЕУСТАНОВИВШИХСЯ ДВИЖЕНИЙ СЖИМАЕМЫХ СРЕД С ФАЗОВЫМИ  
ПЕРЕХОДАМИ.

В последние годы значительно вырос интерес к фазовым переходам вещества в условиях больших динамических нагрузок. Экспериментальному изучению этого явления посвящено много статей и даже книг [1], [2]. В то же время почти отсутствуют расчеты движения вещества с фазовыми переходами. Это объясняется с одной стороны трудностями, связанными с построением модели вещества в исследуемой области плотностей, давлений и температур, и с другой стороны появлением в решении ряда особенностей (расщепление ударных волн и слабых разрывов, скачки разрежения и др.), для удовлетворительного выявления и описания которых с помощью разностных методов сквозного счета необходимо брать очень много точек сетки.

Фазовый переход может быть описан с помощью двух существенно разных моделей: равновесной и неравновесной. В обеих моделях предполагается, что термическое и калорическое уравнения состояния каждой фазы в отдельности известны. Этого оказывается достаточно для построения уравнения состояния в области смеси фаз в равновесной модели. Оно получается с помощью условий равновесия (равенство давлений, температур и термодинамических потенциалов Гиббса двух фаз). В неравновесной модели вместо условий равновесия для построения уравнения состояния смеси нужно использовать уравнения кинетики. Они определяют скорость фазового перехода как функцию давления, температуры, плотности, разности потенциалов Гиббса и некоторых других величин таких, например, как характер нагружения (статическое сжатие или ударное).

В настоящее время экспериментальные данные для описания

фазовых переходов веществ в рамках равновесной модели известны более достоверно и в несравненно большем объеме, чем данные по кинетике фазовых переходов в условиях динамических нагрузок. Вопрос о том, какой модели следует отдать предпочтение, в каждом конкретном случае должен рассматриваться особо.

Расчету нестационарных движений вещества с фазовыми переходами посвящено несколько работ. В [3] рассматривается задача о столкновении двух железных пластин. Фазовый переход в железе предполагается неравновесным. Учитываются упруго-пластические свойства. В [4] рассчитывается движение вещества, испаренного под воздействием луча лазера. В [5] излагается разностная схема и уравнение состояния, учитывающее испарение. В [6] рассмотрена структура вязкого скачка в среде с фазовым переходом второго рода. Установлено, что в точке фазового перехода профиль давления испытывает излом. Численные результаты сравниваются с точным решением. Во всех перечисленных статьях расчет ведется с помощью однородных разностных методов, не выделяющих особенностей в решении.

В данной работе обсуждаются вопросы, связанные с расчетом движений вещества с равновесными фазовыми переходами. Для расчетов применяется неоднородный разностный метод, выделяющий основные особенности в решении. Все расчеты проводились по программе РАНД (расчет адиабатических нестационарных движений). Ниже рассмотрим характерные особенности таких движений, метод расчета, уравнение состояния и результаты расчета одной из задач.

Законы сохранения массы, количества движения и энергии в дифференциальной форме в координатах Лагранжа имеют вид

$$\frac{\partial v}{\partial t} - \frac{\partial u}{\partial \tau} - \frac{(\alpha-1)uv}{r} = 0, \quad (1)$$

$$\frac{\partial u}{\partial t} + \frac{\partial p}{\partial \tau} = 0, \quad \frac{\partial r}{\partial t} = u, \quad (2)$$

$$\frac{\partial E}{\partial t} + \rho \frac{\partial v}{\partial t} = 0, \quad (3)$$

где  $v$  – удельный объем,  $\rho$  – давление,  $u$  – массовая скорость,  $t$  – время,  $E$  – удельная внутренняя энергия,

$\tau$  – массовая лагранжева координата  $d\tau = \rho(dx - ud\tau)$ ,  $\rho = \frac{1}{v}$ .  
Уравнения (1) – (3) замыкается уравнением состояния вида

$$\rho = \rho(v, E). \quad (4)$$

Уравнения (3) и (4) определяют изэнтропу.

Ввиду сложности функции  $\rho = \rho(v, E)$  изэнтропа строится численно. Для этого уравнение (3) преобразуется к виду

$$E = E_0 - \int_{v_0}^v \rho d\nu,$$

затем интеграл заменяется суммой

$$E = E_0 - \sum_{v=0}^Z \rho(v - v_0) \frac{f}{Z}, \quad (5)$$

где  $Z$  – количество слагаемых, определяемое всякий раз, исходя из условий точности расчета изэнтропы.

На сильных разрывах законы сохранения записываются в виде

$$\omega \Delta v + \Delta u = 0, \quad \omega \Delta u - \Delta \rho = 0, \quad (6)$$

$$\Delta E + 0.5(\rho_+ + \rho_-) \Delta v = 0, \quad (7)$$

где  $\Delta f$  – скачок величины  $f$ ,  $\omega$  – скорость распространения сильного разрыва в лагранжевых координатах, индексы "+" и "-" приписываются величинам по разные стороны скачка. Уравнение (7) вместе с (4) определяют адиабату Гюгонио.

Фазовые переходы вызывают изломы изэнтроп и адиабат Гюгонио на границах стабильности фаз (равновесную смесь фаз можно трактовать, как отдельную fazу). Мы будем предполагать, что в каждой отдельно взятой fazе выполняются условия термодинамической устойчивости и выпуклости.

$$\left( \frac{\partial \rho}{\partial v} \right)_S < 0, \quad \left( \frac{\partial^2 \rho}{\partial v^2} \right)_S > 0. \quad (8)$$

На рис.2 показаны типичные в случае fazового перехода первого рода изэнтропы и адиабата Гюгонио.

Система уравнений (1), (2) аппроксимируется разностными уравнениями

$$\frac{u_i^{n+1} - u_i^n}{\tau} + \frac{\bar{\rho}_{i+0.5}^{n+1} - \bar{\rho}_{i-0.5}^n}{0.5(m_{i+0.5}^n m_{i-0.5}^n)} = 0, \quad (9)$$

$$r_i^{n+1} = r_i^n + u_i^{n+1} \tau, \quad (10)$$

$$\rho_{i+0.5}^{n+1} \left[ (v_{i+1}^{n+1})^\alpha - (v_i^{n+1})^\alpha \right] = \rho_{i+0.5}^n \left[ (v_{i+1}^n)^\alpha - (v_i^n)^\alpha \right]. \quad (II)$$

Решение разностных уравнений, когда изменение термодинамических величин происходит изэнтропически, назовем  $R$ -волной. Если же изменение термодинамических величин определяется аддабатой Григорио, то такое решение разностных уравнений назовем  $S$ -волной.

На  $R$ -волне  $E^{n+1}$  и  $\rho^{n+1}$  вычисляются с помощью (4) и (5), где

$$\begin{aligned} v_o &= v^n, \quad E_o = E^n, \quad v = 1/\rho^{n+1}, \quad E = E^{n+1}, \\ \bar{\rho} &= \rho, \quad \rho^v = \rho(v^n, E^n), \\ v^v &= v^{n-1} \frac{v^{n+1} - v^n}{z}, \quad E^v = E^{n-1} \rho^{n-1} \frac{v^{n+1} - v^n}{z}. \end{aligned} \quad (I2)$$

На  $S$ -волне

$$E^{n+1} = E^n - 0.5(\bar{\rho}^v + \bar{\rho}^{n+1})(v^{n+1} - v^n). \quad (I3)$$

Величина  $\bar{\rho}^{n+1}$  определяется из (6), (7) и (4), где

$$v = v^n, \quad \rho = \rho^n, \quad E = E^n, \quad \Delta u = u_{i+1}^{n+1} - u_i^{n+1}.$$

Для повышения экономичности методики при малых величинах  $\bar{\rho}$  находится с помощью так называемого квазиакустического приближения

$$\begin{aligned} \bar{\rho} &= \rho^n + \omega |\Delta u|, \\ \omega &= \alpha^2 \kappa \rho^n |\Delta u|, \quad \alpha = \sqrt{-\left(\frac{\partial \rho}{\partial v}\right)_{ss}}. \end{aligned} \quad (I4)$$

Нами использовался следующий критерий отделения  $R$  волн от  $S$  волн.

Если  $\frac{u_{i+1} - u_i}{\tilde{v}_{i+1} - \tilde{v}_i} < 0$ , то решение является  $S$ -волной.

Если же  $\frac{u_{i+1} - u_i}{\tilde{v}_{i+1} - \tilde{v}_i} > 0$ , то разделение  $R$  и  $S$  волн производится так. Путем предварительного анализа устанавливается, в каких фазах вещества могут возникать скачки разрежения. Эти фазы отмечаются какой-либо меткой. Если в процессе счета оказывается, что вещество перешло в одну из фаз с меткой, то величины  $\rho^{n+1}$  и  $E^{n+1}$  в процессе разгрузки рассчитываются как на  $S$  волне. В противном случае — как на  $R$  волне.

Погрешность аппроксимации и условие устойчивости изложенного выше разностного метода (без фазовых переходов) описаны в [7]. В случае фазовых переходов эти свойства метода оценивались экспериментально путем сравнения численных расчетов

с точным решением для модельных уравнений состояния. Результаты таких сравнений можно считать вполне хорошими.

Наиболее важные ударные волны рассчитываются как скачки, перемещающиеся по регулярной сетке. В соответствии с принятой терминологией будем называть их "точными" ударными волнами. Для расчета "точных" фронтов используются уравнения (4), (6), (7) к которым добавляются еще два уравнения.

$$r^{n+1} = r^n + D^n \tau, \quad (15)$$

$$\begin{aligned} \Delta \rho^{n+1} &= \Delta \rho^n \frac{(\alpha_+^2)^2}{\omega^n} (\Delta u^{n+1} - \Delta u^n) - \tau A^n, \\ A &= \frac{(\alpha-1)u_+v_+\alpha_+^2}{\tau} + \frac{\alpha_+^2-\omega^2}{\omega} \left( \frac{\partial \rho}{\partial t} \right)_+ + \frac{d\rho}{dt} + \frac{\alpha_+^2}{\omega} \frac{du_-}{dt}. \end{aligned} \quad (16)$$

Разностное уравнение (16) аппроксимирует с погрешностью  $O(\tau)$  обыкновенное дифференциальное уравнение, справедливое вдоль фронта

$$\frac{d\Delta \rho}{dt} = -\frac{\alpha_+^2}{\omega} \frac{d\Delta u}{dt} - A.$$

Состояние перед фронтом ударной волны предполагается меняющимся. Производные  $\frac{d\rho}{dt}$  и  $\frac{du_-}{dt}$  находятся с помощью интерполяций после вычисления решения в некоторой области перед фронтом. Подробно метод расчета "точных" фронтов (без фазовых переходов) рассмотрен в [8].

Если после расчета параметров "точного" фронта окажется, что вещество за и перед фронтом принадлежит одной фазе, то такая ударная волна устойчива и на этом ее расчет заканчивается. Если же вещество за и перед фронтом оказывается в разных фазах, то необходимо проверить устойчивость фронта. Прежде всего в плоскости  $\rho, v$  между точками  $A(\rho, v)$  и  $B(\rho, v)$  рис. I строится численно адиабата Гюгонио. Затем находятся точки пересечения адиабаты Гюгонио с границами фаз. Вообще говоря, таких точек может быть несколько. В дальнейшем для простоты изложения ограничимся случаем, когда имеется только одна такая точка  $C$ .

Если эта точка  $C$  лежит ниже луча, проходящего через точки  $A$  и  $B$ , то ударная волна устойчива и на этом ее расчет заканчивается. Ударная волна оказывается на грани устойчивости, когда точка пересечения  $C$  лежит на луче

(луч  $AB$  на рис. I).

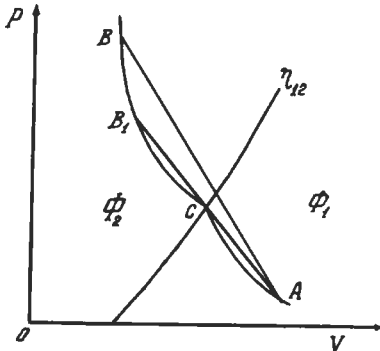


Рис. I.

$\phi_1$ -фаза 1,  $\phi_2$ -фаза 2,  $\eta_{12}$ -граница фаз,  $A$ -точка перед фронтом ударной волны,  $B$  и  $B_1$ -точки за фронтом.

В этом случае ударная волна расщепляется, т.е. заменяется двумя ударными волнами с параметрами.

$$1. \rho_- = \rho_A, v_- = v_A, E_- = E_A, u_- = u_A, \rho_+ = \rho_C, v_+ = v_C, E_+ = E_C, u_+ = u_C.$$

$$2. \rho_- = \rho_C, v_- = v_C, E_- = E_C, u_- = u_C, \rho_+ = \rho_{B1}, v_+ = v_{B1}, E_+ = E_{B1}, u_+ = u_{B1}.$$

В разностном счете может оказаться, что точка  $C$  лежит выше соответствующего луча. В этом случае параметры за фронтом ударной волны будут определены приближенно. Величина этой погрешности пропорциональна величине  $\ell$  — отклонению точки  $C$  от луча (доказательство опускаем ввиду его громоздкости). В свою очередь,  $\ell$  пропорционально шагу по времени  $\tau$ . Поэтому указанные погрешности можно ограничивать хотя бы выбором  $\tau$ . Все сказанное о "точных" фронтах относится к ударным волнам сжатия. Скачки разрежения рассчитываются с помощью метода сквозного счета.

Рассмотрим конденсированное вещество, имеющее лишь две модификации, между которыми возможен полиморфный фазовый переход. Уравнение состояния обеих фаз возьмем в виде

$$\rho = \rho_x(\rho) + \rho_T, \quad E = E_x(\rho) + E_T, \quad (17)$$

$$\rho_x = \frac{\rho_0 C_0}{n} (\delta_{-1}^{n-1}), \quad \rho_r = \Gamma C_v \rho T, \\ E_x = \frac{C_0^2}{n} \left[ \frac{\delta_{-1}^{n-1} n}{n-1} + \frac{1}{\delta} \right] + E_o, \quad E_r = C_v T,$$
(I7)

где  $\delta = \rho/\rho_o$ ,  $C_v = const$ ,  $\Gamma = const$ ,  $E_o = const$ .

Кривая равновесия фаз определяется системой уравнений

$$\begin{aligned} \Gamma &= \Gamma_1 = \Gamma_2, \quad \rho = \rho_1 = \rho_2, \\ E_1 + \rho v_1 - TS_1 &= E_2 + \rho v_2 - TS_2, \end{aligned}$$
(I8)

где индекс "1" относится к первой фазе, индекс "2" – ко второй. Энтропия  $S$  для уравнений (I7) имеет вид

$$S = C_v \ln(\Gamma v') + S_o.$$
(I9)

Подставив в (I8)  $E$  из (I7) и  $S$  из (I9), получим

$$\begin{aligned} \frac{\rho_{01}^2}{n_1} \left[ \frac{\delta_1^{n_1-1} n_1}{n_1-1} + \frac{1}{\delta_1} \right] - \frac{\rho_{02}^2}{n_2} \left[ \frac{\delta_2^{n_2-1} n_2}{n_2-1} + \frac{1}{\delta_2} \right] + \\ + \Gamma \left\{ C_{v1} \left[ 1 - \ln(\Gamma v_1^2) \right] - C_{v2} \left[ 1 - \ln(\Gamma v_2^2) \right] \right\} + S_{o1} - S_{o2} \} + \\ + \rho(v_1 - v_2) + E_{o1} - E_{o2} = 0. \end{aligned}$$
(20)

Кроме того, из (I7) следует

$$\rho = \frac{\rho_{01} C_{01}^2}{n_1} (\delta_1^{n_1-1}) + \Gamma_1 C_{v1} \rho_1 T,$$
(21)

$$\rho = \frac{\rho_{02} C_{02}^2}{n_2} (\delta_2^{n_2-1}) + \Gamma_2 C_{v2} \rho_2 T.$$
(22)

В (20) – (22)  $\rho_1$  и  $\rho_2$  – плотность первой и второй фаз в области смеси, соответственно,  $\delta_1 = \rho_1/\rho_{01}$ ,  $\delta_2 = \rho_2/\rho_{02}$  – сжатия фаз в области смеси. Исключив из (20)–(22)  $\rho_1$  и  $\rho_2$ , получим зависимость  $\rho$  от  $T$  в области смеси

$$\rho = F(T) \quad \text{или} \quad T = \varphi(\rho).$$
(23)

Такая зависимость может быть получена лишь численно ввиду сложности уравнений (20)–(22).

Далее определяются границы каждой фазы. Для фазы "1" граница в переменных  $\rho_1 v$  получается из (I7) и (23) в виде

$$\rho - \frac{\rho_{01} C_{01}^2}{n_1} (\delta_1^{n_1-1}) - \Gamma_1 C_{v1} \rho \varphi(\rho) = 0.$$
(24)

Аналогично получается граница второй фазы

$$\rho - \frac{\rho_{02} c_{02}^2}{\pi_2} (\delta^{n_2-1}) - \Gamma_2 c_{02} \rho \varphi(\rho) = 0. \quad (25)$$

В каждой отдельной фазе внутренняя энергия и давление вычисляются с помощью уравнений (5) или (13) и следствия из (17)

$$\rho = \rho_x(\rho) + \Gamma \rho [E - E_x(\rho)]. \quad (26)$$

В области смеси фаз для получения связи между  $\rho$ ,  $v$  и  $E$  привлекается уравнение

$$\left( \frac{\partial E}{\partial v} \right)_T = T \left( \frac{\partial \rho}{\partial T} \right)_v - \rho,$$

которое после интегрирования по  $v$  вдоль изотермы, являющейся здесь и изобарой, принимает вид

$$E - E_* = \int \frac{\varphi(\rho)}{\alpha \varphi(\rho)} - \rho / (v - v_*). \quad (27)$$

Здесь  $E_*$  и  $v_*$  — значения энергии и удельного объема, взятые на границе области смеси.  $E_*$  и  $v_*$  зависят, очевидно, только от  $\rho$ . Из (17), (23), (24) и (27) получим

$$E = \int \frac{\varphi(\rho)}{\alpha \varphi(\rho)} - \rho / (v - v_*) + c_{01} \varphi(\rho) + \\ + \frac{c_{01}^2}{\pi_1} \left[ \frac{\delta_*^{n_1-1} \pi_1}{\pi_1 - 1} + \frac{1}{\delta_*} \right] + E_{01}. \quad (28)$$

$$\rho = \frac{\rho_{01} c_{01}^2}{\pi_1} (\delta_*^{n_1-1}) + \Gamma_1 c_{01} \rho_* \varphi(\rho) \quad (29)$$

Эти уравнения после исключения  $v_*$  дают связь между  $\rho$ ,  $v$  и  $E$ .

Изложенный выше алгоритм и уравнение состояния были применены для расчета взрыва в веществе с параметрами

$$\rho_{01} = 2,6; \quad \rho_{02} = 4,3; \quad c_{01} = 4,3; \quad c_{02} = 3,7;$$

$$\pi_1 = 4, \quad \pi_2 = 2,7; \quad c_{01} = c_{02} = 1,2 \cdot 10^7; \quad \Gamma_1 = \Gamma_2 = 0,548; \quad (30)$$

$$S_{01} = 0, \quad E_{01} = 0; \quad S_{02} = 1,5 \cdot 10^5; \quad E_{02} = 1,63 \cdot 10^{10};$$

$$[\rho] = \rho / \text{см}^3; \quad [\epsilon] = \text{кДж/сек}; \quad [v] = [S] = g \rho \sigma / 2 \cdot \rho \sigma \partial; \quad [E] = 322 \text{ к.}$$

На рис.2 изображены границы фаз (линии  $\eta_{13}$  и  $\eta_{23}$ ),  
ударная адиабата  $P_r$  и изэнтропа  $P_s$  вещества с параметрами  
(30). Это вещество напоминает кварц с учетом его перехода в  
плотную фазу-стишовит. Константы (30) рекомендованы К.К.Круп-  
никовым.

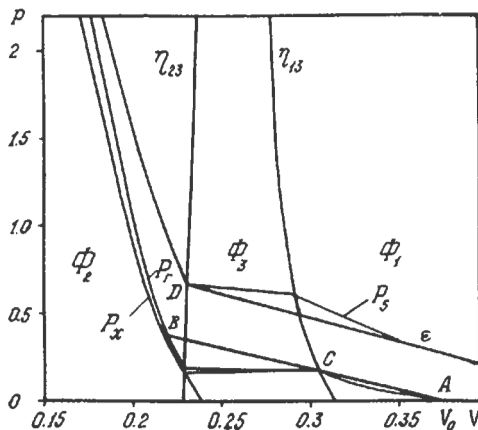


Рис.2.

При  $t=0$  в среде было  $P=0$ ,  $\rho=\rho_0$ ,  $E=0$ ,  $u=0$ . В центре системы задавался пузырек газа, расширение которого имитировало точечный взрыв.

Результаты расчета приведены на рисунках 3, 4, 5.

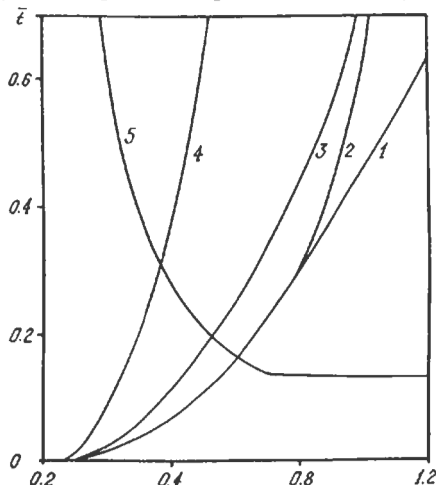


Рис.3.

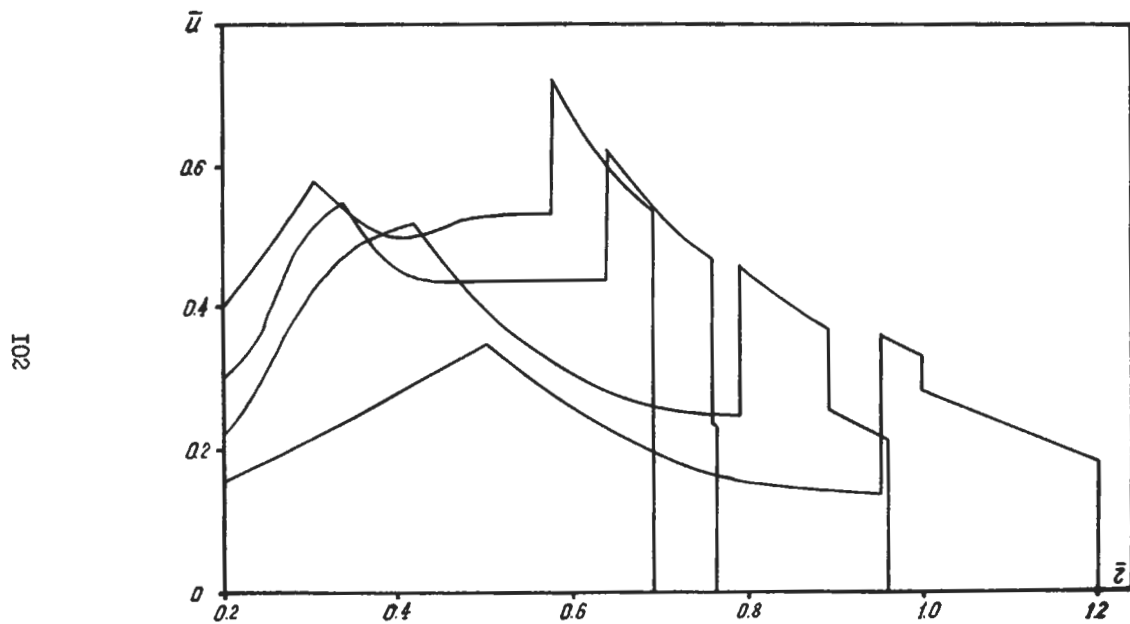


Рис. 5.

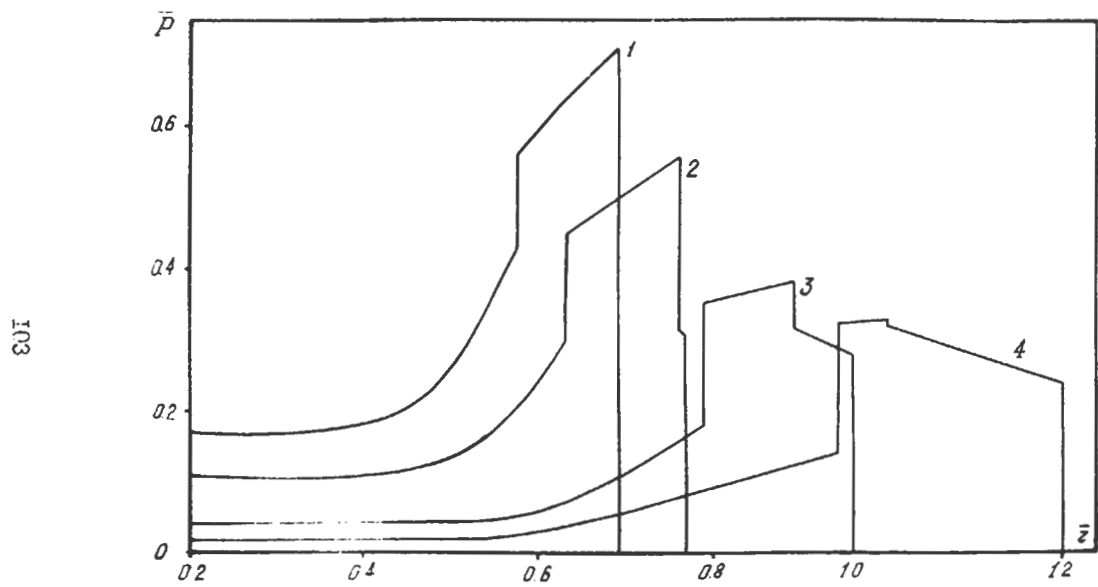


Рис. 4.

На рис.3 в безразмерных переменных  $\bar{r}=r/r_g$ ,  $\bar{t}=C_0 t/r_g$ , где  $r_g = [Q/(C_0^2)]^{1/3}$ ,  $Q$  - начальная энергия газа, изображена траектория первой ударной волны-1, траектория второй ударной волны-2, возникшей после расщепления первой, траектория ударной волны разрежения-3 и 4 - граница, отделяющая вещество от продуктов взрыва (идеальный газ с  $\gamma = \frac{4}{3}$ ). Вначале от центра взрыва распространяется сильная ударная волна, за которой следует волна разрежения. В некотором месте волны разрежения образуется скачок разрежения с состоянием перед фронтом, соответствующим точке Д (рис.2). Давление за фронтом этого скачка продолжает падать. В этом случае условие механической устойчивости скачка требует, чтобы параметры за его фронтом соответствовали бы точке  $\Sigma$ , в которой луч  $\mathcal{D}\Sigma$  касается изэнтропы  $\rho_s$ . Таким образом,  $\alpha$  характеристики выходящие из центра, не догоняют скачок разрежения, поскольку он движется относительно вещества за фронтом точно со скоростью звука. В то же время скачок разрежения является источником  $\alpha$  - характеристики, догоняющих фронт ударной волны сжатия, т.к. скачок разрежения движется с дозвуковой скоростью относительно вещества фазы 2 (в точке Д рис.2). Когда давление на ударной волне упадет до давления в точке В (рис.2), волна расщепляется. После расщепления 2-я волна продолжает быстро затухать. Вещество, по которому движется вторая ударная волна, само движется от центра, т.е. давление и плотность в нем падают, однако условие устойчивости второй волны требует, чтобы точка  $\Sigma$ , соответствующая состоянию перед фронтом, все время располагалась на границе I -й фазы. Это приводит к тому, что вторая ударная волна непрерывно испускает вперед звуковые волны сжатия, т.е. для вещества, находящегося в фазе I, она служит своеобразным краевым условием. Закон затухания первой ударной волны определяется, таким образом, двумя факторами: сферичностью, ослабляющей волну, и волной сжатия, усиливающей ее. В результате изменение скорости  $\mathcal{D}$  первой ударной волны до расщепления и после расщепления резко различается. Зависимость  $\bar{\mathcal{D}} = \mathcal{D}/C_0$  от  $\bar{r}$  приведена на рис.3 (кривая 5).

Видно, что после расщепления скорость первой ударной волны меняется очень медленно. Расчеты позволяют определить отношение значения коэффициента затухания ударной волны  $\alpha_2 = d\ln \rho / d\ln \bar{r}$  после расщепления к значению  $\alpha$ , до

расщепления  $\alpha_2/\alpha_1 \approx 0,13$ .

На рис.4 приведены распределения безразмерного давления  $\bar{\rho} = \rho/\rho_{01} c_{01}^2$  в различные моменты времени (I - до раздвоения первой ударной волны, 2,3,4 - после). Аналогичные распределения безразмерной скорости  $\bar{u} = u/c_{01}$  изображены на рис.5. Видно, что за фронтом первой ударной волны происходит заметное увеличение как давления, так и скорости, которые затем резко спадают на фронте ударной волны разрежения.

Авторы благодарят Н.К.Голубеву за создание отдельных блоков программы РАНД и проведение расчетов.

#### Л и т е р а т у р а .

1. J. Wackerle, „Shock-Wave Compression of Quartz”, *Journal Appl. Phys.*, vol. 33, №1, 1962, 922.
2. “Твердые тела под высоким давлением”, изд. “Мир”, М, 1966.
3. Р.И.Нигматуллин. Модель движения и ударные волны в двухфазных твердых телах с фазовыми переходами. ПМТФ, №1, 88, 1970.
4. Г.Г.Виленская, И.В.Немчинов. Численный расчет движения и нагрева излучением ОКГ плазмы, образовавшейся при вспышке поглощения в парах твердого тела. ПМТФ, №6, 1969.
5. В.Ф.Куропатенко, Б.К.Потапкин, А.Т.Сапожников. Расчет неуставновившихся течений газа типа Ван-дер-Ваальса в трубопроводах постоянного сечения. Изв. СО АН СССР, сер.тех. №13, вып.3, 1967.
6. В.В.Гаджиева, В.Ф.Куропатенко, А.Т.Сапожников. Структура вязкого скачка в среде с фазовым переходом второго рода. Труды Всесоюзного семинара по численным методам механики вязкой жидкости. Наука, 60, 1969.
7. В.Ф.Куропатенко. О разностных методах для уравнений гидродинамики. Труды МИ АН СССР, т.74, г.1, 107, 1966.
8. В.Ф.Куропатенко. Приближенный метод расчета величин за фронтом ударной волны. Числ.мет. мех. среды, инф. бюллетень, т.1, №6, 77, 1970.